

Ultimo aggiornamento delle informazioni: Novembre 2024

**Configurazione di prodotto: QB74+QB97.12**

QB74: Modulo per fila continua Minimal Down UGR < 19 / Office / Working L 898

QB97.12: Piastra - Down - Office / Working UGR < 19 - ON-OFF - LED Warm - L 896 - 8W 895lm - 3000K - Alluminio

**Codice prodotto**

QB74: Modulo per fila continua Minimal Down UGR < 19 / Office / Working L 898

**Descrizione tecnica**

Profilo intermedio in estrusione di alluminio - versione Minimal (frameless) a filo soffitto; permette di ottenere file continue in abbinamento con il profilo iniziale (necessario) ed ulteriori intermedi. Schermo in PMMA micro-prismato per emissione a luminanza controllata UGR < 19 - 3000 cd/m2 (working lighting); predisposizione dello schermo per accoppiamento di più lunghezze mediante sovrapposizione.

**Installazione**

Applicabile ad incasso, a superficie e plafone, a sospensione tramite appositi accessori da ordinare separatamente; sistemi meccanici di connessione tra moduli inclusi nella confezione

**Colore**

Bianco (01) | Nero (04) | Alluminio (12)

**Peso (Kg)**

1.66

**Montaggio**

incasso a soffitto|a soffitto|sospeso a soffitto

**Cablaggio**

Predisposto esclusivamente per alloggiamento dei moduli LED a lunghezza tripla L 3588.

**Note**

Prestare attenzione alla configurazione del sistema; per creare file luminose continue utilizzare i moduli intermedi - per completare correttamente una fila continua è sempre necessario un modulo iniziale all'inizio o alla fine della composizione.

Classificazione TPb. Versioni TPa ordinabili su richiesta, contattare iGuzzini per informazioni.

TPb rated. TPa version available on request, contact iGuzzini for more info

Soddisfa EN60598-1 e relative note

IP20



**Codice prodotto**

QB97.12: Piastra - Down - Office / Working UGR < 19 - ON-OFF - LED Warm - L 896 - 8W 895lm - 3000K - Alluminio **Attenzione!**

**Codice fuori produzione**

**Descrizione tecnica**

Modulo LED predisposto per alloggiamento nei profili iniziali o intermedi del sistema. Emissione down ad elevata efficienza per profili Working (con schermo micro-prismato a luminanza controllata). Impianto di alimentazione elettronica integrato nell'apparecchio. Dissipatore in alluminio estruso; recuperatore di flusso ad alto rendimento emittente. LED Warm 3000K.

**Installazione**

Inserimento del modulo sui profili facilitato da sistema di bloccaggio rapido.

**Colore**

Indefinito (00)

**Peso (Kg)**

0.99

**Cablaggio**

Collegamento con morsettiere ad innesto rapido per connessione semplificata tra moduli conseguenti. Completo di alimentazione integrata ON-OFF - non dimmerabile.

Soddisfa EN60598-1 e relative note



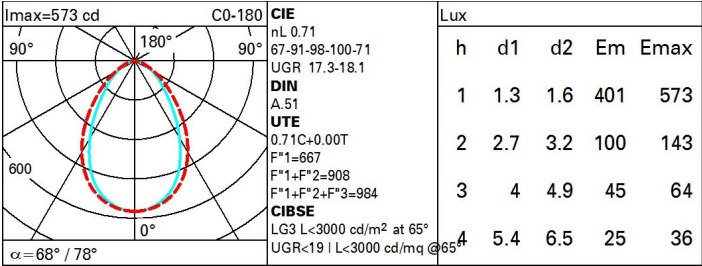
IP20



**Dati tecnici**

|  |       |                                    |                                 |
|--|-------|------------------------------------|---------------------------------|
| Im di sistema:                               | 923   | CRI (minimo):                      | 80                              |
| W di sistema:                                | 8.5   | Temperatura colore [K]:            | 3000                            |
| Im di sorgente:                              | 1300  | MacAdam Step:                      | 3                               |
| W di sorgente:                               | 6.8   | Life Time LED 1:                   | > 50,000h - L90 - B10 (Ta 25°C) |
| Efficienza luminosa (lm/W, dati di sistema): | 108.6 | Codice lampada:                    | LED                             |
| Im in modalità emergenza:                    | -     | Numero di lampade per vano ottico: | 1                               |
| Flusso totale emesso a 90° o superiore [Lm]: | 0     | Codice ZVEI:                       | LED                             |
| Light Output Ratio (L.O.R.) [%]:             | 71    | Numero di vani ottici:             | 1                               |

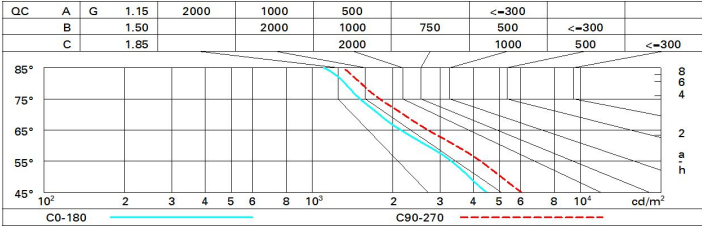
Polare



Coefficienti di utilizzazione

| R    | 77 | 75 | 73 | 71 | 55 | 53 | 33 | 00 | DRR |
|------|----|----|----|----|----|----|----|----|-----|
| K0.8 | 53 | 47 | 43 | 40 | 46 | 42 | 42 | 38 | 54  |
| 1.0  | 57 | 52 | 48 | 45 | 51 | 47 | 47 | 43 | 61  |
| 1.5  | 64 | 59 | 56 | 53 | 58 | 55 | 54 | 51 | 72  |
| 2.0  | 67 | 64 | 61 | 59 | 62 | 60 | 59 | 56 | 79  |
| 2.5  | 69 | 66 | 64 | 62 | 65 | 63 | 62 | 59 | 83  |
| 3.0  | 71 | 68 | 66 | 65 | 67 | 65 | 64 | 61 | 86  |
| 4.0  | 72 | 70 | 69 | 67 | 69 | 68 | 66 | 64 | 90  |
| 5.0  | 73 | 72 | 70 | 69 | 70 | 69 | 68 | 65 | 92  |

Curva limite di luminanza



# Diagramma UGR

| Corrected UGR values (at 1300 lm bare lamp luminous flux)        |     |                     |            |      |            |      |                   |      |      |      |      |      |
|--|-----|---------------------|------------|------|------------|------|-------------------|------|------|------|------|------|
| Reflect.:<br>ceiling/cav<br>walls<br>work pl.<br>Room dim<br>x y |     | 0.70                | 0.70       | 0.50 | 0.50       | 0.30 | 0.70              | 0.70 | 0.50 | 0.50 | 0.30 | 0.30 |
|  |     | 0.50                | 0.30       | 0.50 | 0.30       | 0.30 | 0.50              | 0.30 | 0.50 | 0.30 | 0.30 | 0.30 |
|  |     | 0.20                | 0.20       | 0.20 | 0.20       | 0.20 | 0.20              | 0.20 | 0.20 | 0.20 | 0.20 | 0.20 |
|  |     | viewed<br>crosswise |            |      |            |      | viewed<br>endwise |      |      |      |      |      |
| 2H   | 2H  | 15.6                | 16.6       | 15.9 | 16.8       | 17.1 | 16.9              | 17.9 | 17.2 | 18.1 | 18.4 | 18.4 |
|  | 3H  | 16.2                | 17.1       | 16.5 | 17.3       | 17.6 | 17.1              | 18.0 | 17.4 | 18.2 | 18.5 | 18.5 |
|  | 4H  | 16.4                | 17.2       | 16.8 | 17.5       | 17.8 | 17.1              | 17.9 | 17.5 | 18.2 | 18.5 | 18.5 |
|  | 6H  | 16.6                | 17.3       | 16.9 | 17.6       | 18.0 | 17.1              | 17.8 | 17.4 | 18.1 | 18.5 | 18.5 |
|  | 8H  | 16.6                | 17.3       | 17.0 | 17.7       | 18.0 | 17.0              | 17.8 | 17.4 | 18.1 | 18.5 | 18.5 |
|  | 12H | 16.6                | 17.3       | 17.0 | 17.7       | 18.0 | 17.0              | 17.7 | 17.4 | 18.0 | 18.4 | 18.4 |
| 4H   | 2H  | 16.0                | 16.8       | 16.3 | 17.1       | 17.4 | 17.7              | 18.5 | 18.0 | 18.8 | 19.1 | 19.1 |
|  | 3H  | 16.7                | 17.4       | 17.1 | 17.8       | 18.1 | 18.0              | 18.7 | 18.4 | 19.0 | 19.4 | 19.4 |
|  | 4H  | 17.0                | 17.6       | 17.4 | 18.0       | 18.4 | 18.1              | 18.7 | 18.5 | 19.1 | 19.5 | 19.5 |
|  | 6H  | 17.3                | 17.8       | 17.7 | 18.2       | 18.6 | 18.1              | 18.7 | 18.6 | 19.1 | 19.5 | 19.5 |
|  | 8H  | 17.3                | 17.8       | 17.8 | 18.2       | 18.7 | 18.1              | 18.6 | 18.6 | 19.1 | 19.5 | 19.5 |
|  | 12H | 17.4                | 17.8       | 17.8 | 18.3       | 18.7 | 18.1              | 18.6 | 18.6 | 19.0 | 19.5 | 19.5 |
| 8H   | 4H  | 17.1                | 17.6       | 17.6 | 18.0       | 18.5 | 18.4              | 18.9 | 18.8 | 19.3 | 19.7 | 19.7 |
|  | 6H  | 17.5                | 17.9       | 17.9 | 18.3       | 18.8 | 18.5              | 18.9 | 19.0 | 19.4 | 19.8 | 19.8 |
|  | 8H  | 17.6                | 17.9       | 18.1 | 18.4       | 18.9 | 18.5              | 18.9 | 19.0 | 19.4 | 19.9 | 19.9 |
|  | 12H | 17.7                | 18.0       | 18.2 | 18.5       | 19.0 | 18.6              | 18.9 | 19.1 | 19.4 | 19.9 | 19.9 |
| 12H  | 4H  | 17.1                | 17.6       | 17.6 | 18.0       | 18.4 | 18.4              | 18.9 | 18.9 | 19.3 | 19.8 | 19.8 |
|  | 6H  | 17.5                | 17.8       | 18.0 | 18.3       | 18.8 | 18.6              | 18.9 | 19.1 | 19.4 | 19.9 | 19.9 |
|  | 8H  | 17.6                | 17.9       | 18.2 | 18.4       | 19.0 | 18.6              | 18.9 | 19.1 | 19.4 | 19.9 | 19.9 |
| Variations with the observer position at spacing:                |     |                     |            |      |            |      |                   |      |      |      |      |      |
| S =  |     | 1.0H                | 0.5 / -0.5 |      | 0.3 / -0.5 |      |                   |      |      |      |      |      |
|  |     | 1.5H                | 0.6 / -1.3 |      | 0.8 / -1.2 |      |                   |      |      |      |      |      |
|  |     | 2.0H                | 1.2 / -1.9 |      | 1.8 / -1.8 |      |                   |      |      |      |      |      |